



اوین هایش ملی علوم کشاورزی و رست بخشی ایران

کوہی ندرس محله
پ

شماره: ۱۱۳۲.۴۱۱.۱

کد مقاله: ۱۲۱۳-R

محترم کاری جناب آقای مجیدرها

ویکاران فریزتر اینین منیان، سالان آبدانان مدی زاده و دیدم مووی

شال شما عزیزان ملاری ساخته آنای تویلهه منوری هکرندانل یکی همی دادین یا ایشان ملی علوم کشاورزی و رست بخواهند

بنای طبی خوزستان در تاریخ ۲۳ آبان ۱۳۹۸ میلادی در پیشتری ملکی هایش بی صورت "قیمت گذاری موقت" موردنیز فراگرفت است. این امرت امورهه مثالت

احلال امری اولی و درودی ایران اسلامی موافق و مویهای

سر عطاء الرسالت

اوین هایش



علی نایابی شدی

دیر علی هایش



CNCA





اولین همایش ملی علوم کشاورزی

وزیریست محیط ایران

نهان برگزاری همایشی ۱۰ بهمن ماه ۱۳۹۷

طراحی، ساخت و آزمایش تونل باد به منظور بررسی عملکرد نازل‌های سمپاشی

مجید رهنما^۱، افشنین مرزبان^۲، سامان آبدانان مهدیزاده^۳، سید نعیم موسوی^۴

^۱ عضو هیات علمی دانشگاه علوم کشاورزی و منابع طبیعی خوزستان، ملاثانی

^۲ عضو هیات علمی دانشگاه علوم کشاورزی و منابع طبیعی خوزستان، ملاثانی

^۳ عضو هیات علمی دانشگاه علوم کشاورزی و منابع طبیعی خوزستان، ملاثانی

^۴ عضو هیات علمی دانشگاه علوم کشاورزی و منابع طبیعی خوزستان، ملاثانی

*نویسنده مسئول: rahnamam2002@ramin.ac.ir

چکیده

سمپاشی یکی از عملیات مهم برای مبارزه با عوامل زنده کاهش تولید در محصولات کشاورزی است. با توجه به بالا بودن هزینه‌های سمپاشی و مسائل زیست محیطی ناشی از آن، مدیریت مناسب در این زمینه بسیار ضروری است. ایجاد شرایط استاندارد و مشابه وضعیت واقعی در آزمایشگاه و شبیه سازی محیط سمپاشی می‌تواند به مطالعه در زمینه بهبود شرایط سمپاشی همچنین جهت بررسی میزان ذره‌سازی، کیفیت تاثیرگذاری نازل‌های سمپاشی، میزان بادبرگی، ارتفاع بوم، سرعت باد و انتخاب نوع نازل و تعیین الگوی استاندارد کمک کند. برای این منظور سامانه‌ی تونل باد افقی با ابعاد ۵/۰ متر عرض، ۷/۵ متر ارتفاع و طول ۵ متر در آزمایشگاه دانشگاه کشاورزی و منابع طبیعی خوزستان طراحی و ساخته شد. جهت آزمایش مقدماتی با استفاده از فناوری پردازش تصویر و کارت‌های حساس به آب تاثیرگذاری عواملی مانند سرعت باد و دو نازل تی جت و مخروطی که کاربرد نسبتاً بیشتری در کشاورزی دارند بر میزان باد بردگی محلول مورد بررسی قرار گرفت. صحت کار سامانه تونل باد با تحقیقات سایر پژوهشگران در این زمینه بررسی شد که ارزیابی موفقی داشت.

واژه‌های کلیدی: بادبردگی، ذره‌سازی، الکتروپمپ، نازل تی جت، نازل مخروطی

مقدمه

آفات در محصولات مختلف باعث خسارت گسترده‌ای برای کشاورزان می‌گردد. سالانه در سطح جهان، میلیون‌ها لیتر محلول سم، برای مبارزه با آفات و بیماریهای گیاهی در مزارع استفاده می‌شود. نوع نازل، فشار سمپاشی، ارتفاع بوم سمپاش و سرعت باد به عنوان عوامل مؤثر در بادبردگی، روی اندازه‌ی ذرات می‌باشند. انتخاب نوع نازل و استفاده از فشار مناسب کیفیت سمپاشی را افزایش می‌دهد. با مدیریت اندازه‌ی ذره، زاویه و فشار پاشش می‌توان بادبردگی را کنترل کرد. کارایی سمپاش‌ها به نوع نازل و تعداد ذرات و پراکندگی آنها در سطح محصول بستگی دارد. در شرایط محیطی مزرعه امکان بررسی کیفیت پاشش و ذره‌سازی همچنین میزان بادبردگی با توجه به تغییرات جوی به سختی امکان پذیر است. شبیه‌سازی شرایط محیطی در فضای آزمایشگاهی و کنترل شده می‌تواند تاثیر بسیاری از عوامل نظیر، بررسی میزان ذره‌سازی، کیفیت پاشش نازل‌های سمپاشی، محاسبه و اندازه‌گیری

اولین همایش ملی علوم کشاورزی

وزیریست محیط ایران

نهان برگزاری همایشی ۱۰ بهمن ماه ۱۳۹۷

میزان ذرهسازی نازل و قطر ذرات، مقایسه عوامل موثر در عملکرد انواع نازل‌ها، کنترل میزان بادبردگی و تعیین فشار و ارتفاع بوم مناسب برای انواع نازل‌ها و ... را تعیین کرد.

شبیه‌سازی شرایط محیطی به کمک تونل باد می‌تواند بهترین کیفیت برای اثر بخشی سم را با اندازگیری در شرایط آزمایشگاهی تعیین کند (فتاحی و همکاران، ۱۳۹۲). بادبرگی سوموم شیمیایی به معنای حرکت قطرات سم به طرف مناطق، محصولات و موجودات زنده‌ی غیر هدف در محیط می‌باشد (Wolf, ۲۰۰۳). شدت سم، سرعت و جهت باد، ثبات شرایط جوی و سایر عوامل محیطی از جمله عوامل تاثیرگذار بر بادبردگی هستند (شفیعی، ۱۳۸۸). از عوامل موثر دیگر در بادبردگی افزایش فشار سم‌پاشی است که باعث ریزتر شدن قطرات سم می‌شود (Klein *et al.*, ۲۰۰۷). کوچکتر شدن سطح مقطع روزنه‌ی نازل به خاطر ایجاد قطرات ریزتر و رطوبت نسبی کم و دمای بالاتر، پتانسیل بادبردگی را افزایش می‌دهد (Storrie, ۲۰۰۴). بنابراین باید اصولی را رعایت کرد تا بیشترین بازدهی با کمترین هزینه به دست آید (Jensen and lund, ۲۰۰۸). این اصول شامل ثابت نگهداشت فشار سم‌پاش، ثابت نگهداشت سرعت پیشروی سم‌پاش، رعایت فاصله مناسب نازل سم‌پاش از گیاه و همچنین ثابت نگهداشت عرض کار سم‌پاشی می‌باشد. یکی از اقدامات موثر و عملی برای کاهش مقدار سوموم مصرفی، واسنجی سم‌پاش‌ها جهت ایجاد قطرات با اندازه مناسب و پاشش یکنواخت است. در سم‌پاش‌ها جهت انتخاب نازل مناسب باید قطرات پاشیده شده مورد سنجش قرار گیرند (خاکرنگین و همکاران، ۱۳۹۰). عوامل فشار پاشش، سرعت باد و ارتفاع بر اندازه‌ی قطر در فاصله‌ی مورد نظر اثر افزایشی دارد. از این رو حفاظت گیاهان کشت شده از گزند عوامل مخرب و بهره‌وری بیشتر از سوموم، اهمیت ویژه‌ای پیدا می‌کند (بازو و همکاران، ۱۳۹۰). سرعت در سطح زمین معمولاً کمتر از بقیه مکان‌ها است و در ارتفاع کم تأثیر سرعت روی ذرات کمتر شده و میزان بادبردگی ذرات کاهش می‌یابد. سرعت باد اغلب در ارتفاع‌های بالاتر از زمین بیشتر است. بنابراین قطرات پاشش شده از نازل در ارتفاع پایین‌تر به وسیله‌ی باد کمتر متأثر می‌شوند (Srivastava, ۲۰۰۶).

قبل از اختراع تونل باد برادران رایت، مطالعات و آزمایشات آبرودینامیکی به کمک دمنده‌های تولید باد انجام می‌شد. این دستگاه اولین بار در سال ۱۸۰۰ میلادی توسط سر جرج کیل بهینه‌سازی شد. برادران رایت با همکاری اکتوکانت در سال ۱۹۰۱ برای مطالعه تاثیرات جریان هوا روی اشکال مختلف اقدام به طراحی و ساخت تونل باد ساده‌ای نمودند. این تونل باد ساده اخیراً نیز برای تست هوایپما مدرن و کم سرعت آلباتروس، مورد استفاده قرار گرفته است. پس از آن با توسعه علم آبرودینامیک و پایه گذاری رشته مهندسی هوا فضاء، استفاده از تونل باد نیز افزایش یافت.

تونل باد در کشاورزی برای شبیه‌سازی محیط و تاثیر گذاری عوامل جوی از جمله باد روی مراحل مختلف کاشت، داشت، برداشت محصولات کشاورزی همچنین باگداری بکار می‌رود. بررسی عوامل فرسایشی خاک، خاکورزی و اثرات مخرب باد، بررسی عوامل موثر جوی با شبیه‌سازی در محیط آزمایشگاه قابل اندازه‌گیری و در طراحی ادوات کشاورزی بسیار موثر است. از کاربردهای مهم تونل‌های باد طراحی تجهیزات برای سم‌پاشی و کنترل آفات محصولات کشاورزی است (Gu *et al.*, ۲۰۱۱؛ Fatahi و همکاران, ۱۳۹۲). در این راستا Guler و همکاران (۲۰۰۷) پتانسیل بادبردگی را در نازل‌های بادبزنی در تونل باد و در شرایط معمولی مورد مطالعه قرار دادند و از کاغذهای حساس به آب استفاده کردند. این آزمایش در دو سطح سرعت $2/5$ و ۵ متر بر ثانیه انجام شد، نازل‌های القایی با هوا، بادبردگی را نسبت به نازل‌های متداول کاهش دادند (Wolf, ۲۰۰۳). چهار نازل بادبزنی را در تونل باد مورد آزمایش قرار دادند (Wolf, ۱۹۹۶) و Farooq (Wulfsohn, ۲۰۰۳) با طراحی تونل باد و شبیه‌سازی شرایط محیطی در آزمایشگاه، مقادیر قطر میانه‌ی حجمی در سرعت‌های

اولین همایش ملی علوم کشاورزی

وزیرت محیط ایران

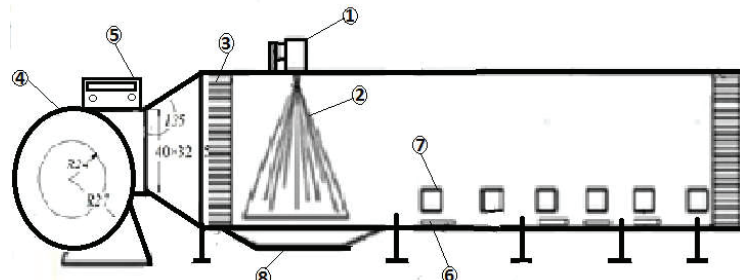
تاریخ برگزاری همایش ۱۰ بهمن ماه ۱۳۹۷

مختلف باد مقایسه و مورد بررسی قرار داد و به این نتیجه رسید که سرعت نقش بسیار تأثیرگذاری روی قطر میانه‌ی حجمی قطرات دارد. با افزایش سرعت میزان نیروی واردہ به قطرات نیز زیادتر شده و قطرات بزرگ‌تر می‌توانند دچار بادبردگی شوند. آنها با بررسی شرایط آزمایشگاهی در تونل باد توانست با شبیه‌سازی شرایط سه‌پاشی، امکان بررسی عملکرد مختلف نازل‌ها در شرایط کنترل شده برای امنیت کاربران (در برابر مشکلات زیست محیطی سه و عوارض ناشی از استفاده از آن در مزرعه) جهت رسیدن به نتیجه و بررسی نتایج حاصله را فراهم نمود. از مهم‌ترین مزیت دستگاه تونل باد بهینه کردن روش کار سه‌پاش‌ها به منظور حفظ سلامتی انسان‌ها و سایر جانداران از سه‌بردگی توسط باد در زمین‌های زراعی است. در انجام آزمایشات تونل باد طراحی شده توسط فاروق و همکارانش به دو قسمت طرح تونل باد اهمیت خاصی داده شد این دو قسمت، طراحی و ساخت سامانه دمنده افقی تونل باد و طراحی و ساخت سیستم هیدرولیکی برای ایجاد پاشش مناسب در نازل بود (Farooq and Wulfsohn, ۱۹۹۶).

با توجه به مشکلات و دلایل ذکر شده در بالا لازم است در محیطی کنترل شده و آزمایشگاهی کیفیت و کمیت کار نازل‌ها بررسی شوند. برای این منظور در این پژوهش با ساخت و طراحی سامانه تونل باد شرایط مناسبی جهت بررسی عواملی مانند سرعت باد، ارتفاع بوم، نوع نازل بر میزان نشت سه، بادبرگی و کیفیت پاشش در فضای آزمایشگاهی ایجاد کرد.

مواد و روش‌ها

اجزای تشکیل دهنده تونل باد شامل مکانیزم جابجایی عرضی نازل، سامانه پاشش نازل، لانه زنبوری، نازل، فن و سامانه تولید باد، محل قرارگیری کاغذهای حساس به آب، دریچه‌های دسترسی محل خروج آب می‌باشد که شماتیک آن در شکل (۱) آورده شده است. در ادامه ابتدا روابط مربوط طراحی قسمت‌هایی مختلف و نسبی نحوه ساخت قطعات و دستگاه پرداخته می‌شود.



شکل ۱- تصویر شماتیکی از سامانه تونل باد ساخته شده با اجزای زیر: ۱- مکانیزم جابجایی عرضی نازل - ۲- پاشش نازل - ۳- لانه زنبوری - ۴- دمنده هوای - ۵- منبع تغذیه - ۶- محل قرارگیری کاغذهای حساس به آب - ۷- دریچه‌های دسترسی - ۸- مخزن

روابط مورد نیاز برای طراحی و ساخت

توان مورد نیاز الکتروموتور جهت راهاندازی نازل و دمنده هوای ایجاد دبی و فشار لازم برای سه‌پاش و یا ایجاد جریانی از هوای فشار سرعت از رابطه (۱) به دست آمد (صفری، ۱۳۸۸):

$$P_p = \frac{P_l Q_l}{\mu} \quad (1)$$

در رابطه بالا، P_p توان مورد نیاز پمپ، الکترو موتور یا فن بر حسب وات، P_l بیشینه فشار سیال بر حسب پاسکال، Q_l دبی سیال بر حسب متر مکعب بر ثانیه و μ بازده الکتروپمپ می‌باشد. برای توربین تونل باد نیز رابطه (۱) صادق است مقدار فشار از افت فشار



اولین همایش ملی علوم کشاورزی

وزیرت محیط ایران

دستان برگزاری همایش ۱۰ بهمن ماه ۱۳۹۷

سیال (هو) محاسبه شد و دبی نیز از ضرب سطح مقطع در سرعت جریان هوا به دست آمد (سرعت باد با توجه به اطلاعات هو شناسی برای ۱۰ سال اخیر اهواز در تیر ماه حدود ۴ متر بر ثانیه می‌باشد. رابطه‌ی (۲) برای محاسبه افت فشار گاز یا سیال در لوله‌ها توسط دارسی^۱ – ویسباخ^۲ رائه گردیده است (Klinzing *et al.*, ۲۰۱۱).

$$\Delta P_L = \lambda_L \frac{\rho_a}{\gamma} V_a^2 \frac{\Delta L}{D_h} \quad (2)$$

ضریب اصطکاک، V_a سرعت هوا (m/s)، ΔL طول لوله (m)، D_h قطر هیدرولیکی (m)، ρ_a چگالی هوا (kg/m³) است. قطر هیدرولیکی سطح مقطع کانال هوا (D_h) باید تعیین شود. قطر هیدرولیکی در یک سطح مقطع مستطیلی با ابعاد a و b از رابطه زیر محاسبه گردید (White, ۲۰۰۲).

$$D_h = \frac{a \cdot b}{\gamma(a+b)} = \frac{a \cdot b}{a+b} \quad (3)$$

و همکاران (۱۹۹۷) رابطه زیر را برای D_h داده‌اند.

$$D_h = 1.265 \times \sqrt[5]{\frac{(a \cdot b)^{\gamma}}{a+b}} \quad (4)$$

برای بدست آوردن عوامل اصطکاکی (λ_L) برای سادگی کار، می‌توان معادله بلازیوس^۳ یا معادله کو^۴ را بکار می‌رود. برای محاسبه عدد رینولدز^۵ Re نیز معادله بلازیوس چنین است (Klinzing *et al.*, ۲۰۱۱).

$$\lambda_L = \frac{0.316}{(Re)^{0.75}} \quad (5)$$

حدود دقیق جریان آرام و آشفته با عدد رینولدز (Re) مشخص می‌شود.

$$Re = \frac{\rho_a V_a D}{\mu} = \frac{V_a D}{v} \quad (6)$$

در روابط بالا، ρ چگالی هوا (kg/m³)، v سرعت هوا (m/s)، D قطر لوله (m)، μ گرانروی دینامیکی هوا ($\frac{N \cdot S}{m^2}$)، v گرانروی سینماتیک هوا (m²/s) است. گرانروی در گازها با افزایش دما کاهش می‌یابد، بنابراین عموماً برای محاسبه گرانروی دینامیکی هوا استفاده از رابطه (۷) استفاده می‌شود (Klinzing *et al.*, ۲۰۱۱).

$$\frac{\mu_1}{\mu} = \left(\frac{T_1}{T_2} \right)^{0.77} \quad (7)$$

۱. گرانروی هوا در دمای آزمایش ($\frac{N \cdot S}{m^2}$)، μ . گرانروی هوا در دمای ۱۵ درجه سلسیوس و در سطح دریا، ($\frac{N \cdot S}{m^2}$) که برابر = $10^{14} \times 3/921 \times T_1$ دمای محیط آزمایش بر حسب کلوین، T . دمای مرجع که برابر $288/16$ درجه کلوین است. برای جریان آرام $Re < 2300$ و برای جریان آشفته $Re > 2300$ است.

در این طرح مکانیزم جابجایی نازل باید با سرعتی معادل سرعت پیشروی تراکتور حرکت کند. در طراحی بیشینه سرعت پیشروی تراکتور برای سه پاشی ۸/۱۲ km/hr معادل ۲/۲۸ m/s فرض می‌شود (ناصری و همکاران، ۱۳۸۶). برای محاسبه توان مورد نیاز برای رسیدن نازل به سرعت مذکور در مدت زمان مشخص از رابطه (۸) استفاده شد. قدرت لازم برای نگهداشت نازل در سرعت

^۱. Darcy

^۲. Wiesbach

^۳. Blasius

^۴. Koo

^۵. Reynolds



اولین همایش ملی علوم کشاورزی

وزیریست محیط ایران

دستان برگزاری همایش ۱۰ بهمن ماه ۱۳۹۷

مذکور و تداوم حرکت بخشی از توان موتور برای غلبه بر اصطکاک تلف می‌شود. بنابراین با فرض اینکه الکتروموتور باید نازل با وزن m را در مدت زمان t به بیشینه سرعت پیشروی برساند برابر است با:

$$P = F \cdot V = m \frac{V_{Max}}{t} \times \frac{V_{Max}}{2} = \frac{m V_{max}^2}{4t} \quad (8)$$

در رابطه بالا $\frac{V_{Max}}{2}$ ، متوسط سرعت پیشروی بر حسب m/s و m جرم نازل بر حسب kg می‌باشد. توان الکتروموتور برای به حرکت آوردن دوربین با توجه به اینکه نیازی به سرعت بالا نمی‌باشد بصورت تجربی و با پیش آزمایش و سعی و خطا تعیین شد. نتایج نهایی حاصل از محاسبات پارامترهای طراحی به شرح جدول (۱) می‌باشد.

جدول ۱- نتایج محاسبات طراحی سامانه تونل باد

ردیف	پارامتر	نماد	مقدار	واحد	رابطه
۱	توان الکتروموتور جابجایی نازل	P_{pn}	۰/۳۷	Kw	(۸)
۲	توان الکتروموتور دمنده	P_{pt}	۰/۳	Kw	(۸)
۳	شدت جریان نامی الکتروموتور دوربین	I_t	۴/۴۷	A	ندارد
۴	شدت جریان راهاندازی الکتروموتور دور کند	I_1	۱/۸	A	ندارد
۵	شدت جریان راهاندازی الکتروموتور دور تند	I_2	۳	A	ندارد
۶	شدت جریان راهاندازی الکتروموتور توربین	I_r	۶/۲	A	ندارد
۷	ولتاژ الکتروموتور دمنده هوا	V	۲۲۰	V	ندارد
۸	دور کند دمنده هوا	N_1	۹۵۰	RPM	ندارد
۹	دور تند دمنده هوا	N_2	۱۴۲۵	RPM	ندارد
۱۰	گشتاور الکتروموتور دمنده	Mm	۲/۰۸	N.M	ندارد
۱۱	ولتاژ الکتروموتور جابجایی نازل		۱۲	V	ندارد
۱۲	شدت جریان الکتروموتور جابجایی نازل		۰/۸	A	ندارد
۱۳	دور الکتروموتور جابجایی نازل	N_g1	۳۰۰	RPM	ندارد
۱۴	گشتاور الکتروموتور جابجایی نازل	Mm_1	۰/۸	N.M	ندارد
۱۵	چگالی هوا	ρ	۱/۰۶	Kg/m^3	ندارد
۱۶	سرعت باد	V.	۴	m/s	ندارد
۱۷	گرانروی دینامیکی	μ_1/μ_0	$3/6788 \times 10^{-5}$	بدون بعد	(۷)
۱۸	ابعاد باتاقان غلتشی	D.	$\frac{3}{4}$	in	ندارد
۱۹	فشار حداکثر هیدرولیک مدار	P	۱۴۰	psi	ندارد
۲۰	توان پمپ هیدرولیک	P_p	۰/۵۵	Kw	(۱)
۲۱	آبدهی پمپ	Q_p	۱/۸	m^3/hr	ندارد
۲۲	حداکثر هوادهی	Q_1		Ft ^۳ /min	ندارد
۲۳	قطر کانال ورودی	D_C	۰/۶	m	(۳)
۲۴	عدد رینولدز	Re	۲۱۶۵	بدون بعد	(۶)

اولین همایش ملی علوم کشاورزی و زیست محیطی ایران

۱۳۹۷ بهمن ماه ۱۰ تا ۱۴

(۱)	m^3/hr	۴۲۵۰	Q	دبی هوای ورودی دمنده	۲۵
(۳)	p_a	۰/۷۶۵	ΔP_L	افت فشار	۲۶
ندارد	mm^3	۷۵۰×۵۰۰	A	مساحت داخل تونل باد	۲۷

ساخت دستگاه تونل باد

در طراحی و ساخت بدنه اصلی تونل باد از ورق آهنی گالوانیزه استفاده گردید. سطح مقطع تونل به شکل مربعی و با ابعاد $۰/۵ \times ۰/۷۵$ متر و طول تونل ۵ متری انتخاب شد (فتاحدی و همکاران، ۱۳۹۲). دریچه‌هایی جهت کاربردهای مختلف و دسترسی به داخل تونل در سطح جانبی طراحی شد که با استفاده از طلق شفاف امکان رویت داخل تونل را امکان‌پذیر کرده (شکل ۲). در قسمت ورودی جهت مستقیم و یکنواخت کردن جریان باد از شبکه لانه زنبوری فلزی استفاده شد. همچنین شکاف عرضی همراه با سامانه الکترونیکی و تجهیزات مکانیکی (نازل، اتصالات، مانومتر نمایش فشار) وظیفه جابجایی نازل در عرض تونل را بر عهده دارد. نازل در شیار مجهر به سیستم جابجایی خودکار عرضی کارگذاری و در پایین موقعیت نازل در تونل تورفتگی جهت جمع آوری سم و برگشت آن به مخزن طراحی شد. باد توسط توربین به کمک الکتروموتور تولید و میزان سرعت الکتروموتور که میان میزان سرعت باد است، قابل کنترل می‌باشد. برای تنظیم ارتفاع در سامانه تونل باد از کشوهايی جهت جابجایی سطح استفاده شده با توجه به ارتفاع مورد نظر موقعیت آنها را می‌توان جایجا کرد.



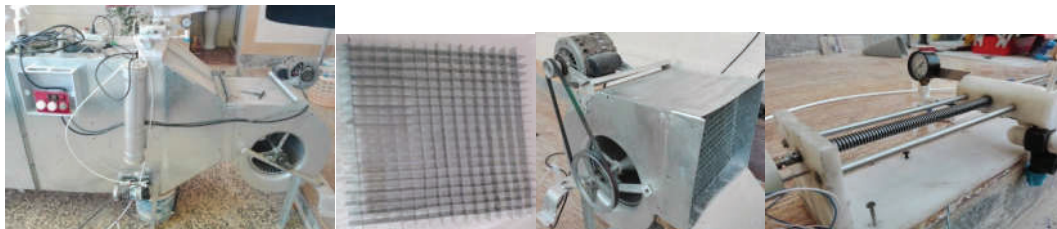
شکل ۲- سامانه تونل باد ساخته شده

در سامانه تونل باد جهت دمیدن باد در تونل از یک توربین با الکتروموتور اینیورسال با دو دور کند و تند (بین $۱/۳$ تا ۹ متر بر ثانیه) استفاده شد. الکتروموتور دمنده هوا از نوع Sp56 با قدرت خروجی $۰/۳۷$ کیلووات در حدود $۱/۶$ اسب بخار در دو دور ۹۵۰ و ۱۴۲۵ دور در دقیقه با توجه به روابط و محاسبات جدول (۱) انتخاب شد. کنترل سرعت باد تولید شده در توربین باد با دو شیوه استفاده از دیمر ولتاژ و محدود کردن میزان دهش باد انجام شد. جهت مستقیم کردن جریان هوا و جلوگیری از جریان اغتشاشی و کاهش اغتشاش هوا از شبکه لانه زنبوری استفاده شد. برای سیستم جابجایی نازل از مکانیزم مکانیکی شامل پیچ انتقال قدرت دنده مربعی (دنده کبریتی)، دو میله استیلی هادی، دو الکتروموتور گیربکس دار DC، مانومتر فشار و تجهیزات نصب نازل استفاده شد. مشخصات الکتروموتور با توجه به روابط و محاسبات جدول (۱) بدست آمد. دو میکرو سوئیچ در دو طرف شانه انتهای حرکت نازل را شناسایی و به مدار الکترونیکی اطلاع رسانی و میکرو کنترل AT MEGA16 این حرکت را کنترل می‌کند و نازل پس از رسیدن به انتهای مسیر مجدد به موقعیت قبلی بازگشت نماید.

اولین همایش ملی علوم کشاورزی

وزیرت محیط ایران

نهمین برگزاری همایش ۱۰ بهمن ماه ۱۳۹۷



شکل ۳- اجزای سامانه تونل باد

در انتقال سم به نازل از یک سیستم هیدرولیکی که شامل پمپ، از نوع C.C.K روتوری با تولید فشاری ماکزیمم ۱۴۰ psi، مانومتر اندازه گیری فشار موازی شده با نازل جهت مشاهده و ثبت فشار تزریق نازل یک دیمیر ولتاژ جهت کنترل و تغییر فشار پاشش نازل با توجه به روابط و محاسبات جدول (۱) استفاده شد. جهت ثابت نگهداشت فشار و برای دستیابی به سطوح مختلف فشار از یک شیر کنترل دبی استفاده شد. جهت تست از محلول سم و رنگ تارترازین^۱ زرد با فرمول شیمیایی $C_2S_9O_7Na_4N_9H_{16}$ و جرم مولکول آن $534/3$ گرم بر مول با آب می باشد. تارترازین یک ماده رنگ کننده شیمیایی، به رنگ نارنجی یا زرد لیمویی است که نسبت به اکسیژن (اکسایش) تغییر رنگ می دهد. این رنگ به میزان ۵ تا ۶ گرم بر لیتر در آب حل شد (Gil et al., ۲۰۱۳).

انجام آزمایش مقدماتی

داده برداری از سامانه تونل باد در دو نوع نازل (تی جت و مخروطی)، ارتفاع ۰/۵۵ متر، سه سرعت باد ($0/0$ و $0/2$ و $0/4$ متر بر ثانیه) و پنج فاصله از هدف ($1/0$ ، $2/0$ ، $3/0$ و $5/0$ متری) به صورت فاکتوریل با طرح کاملاً تصادفی و با سه تکرار انجام شد. پس از تنظیم اولیه سامانه تونل باد، در پنج فاصله یک متری کارت‌های حساس به آب در تونل باد قرار داده و فشار سیستم با پیش آزمایش روی $2/8$ بار تنظیم شد. جهت اندازه گیری سرعت باد شیوه سازی شده، میزان دمای هوا و میزان رطوبت هوا از دستگاه ابزارهای اکستک^۲ با مدل EN ۳۰۰ ساخت کشور آمریکا و دستگاه ابزار AM۴۲۰۵ شامل (بادسنجد) با دقت $1/0$ متر بر ثانیه، رطوبت سنج با دقت $1/1$ ٪ و دما سنج با دقت 1 درجه سلسیوس استفاده شد.

پتانسیل بادبردگی، به عنوان درصد سمی که پس از عبور سمپاش، از طریق جریان‌های بادی به خارج از منطقه هدف حمل می‌شود از رابطه زیر محاسبه شد (جیل و همکاران، ۲۰۱۴):

$$Dpv = \sum_{i=1}^{n=1} \frac{D_i}{RSD} \times 100 \quad (۹)$$

در رابطه بالا Dpv مقدار پتانسیل بادبردگی، D_i نشست سم در یک ظرف، n شماره ظرف و RSD نشست شاهد می‌باشد. به منظور مطالعه نشست ذرات، ظروف پتربی (با قطر 9 سانتی‌متر و ارتفاع لبه $1/3$ سانتی‌متر) در امتداد یک خط در کف تونل باد به فاصله یک متری قرار داده شد. همچنین با قرار دادن کاغذهای حساس به آب را در فواصل مشخص شده با استفاده از فناوری پردازش تصویر میزان نشست محلول سمپاشی شده اندازه گیری نیز شد. پس از جمع آوری نمونه‌ها تا زمان تجزیه و تحلیل، در دمای -20 - 600 dpi درجه سانتی گراد ذخیره شد (Huiyu, ۲۰۱۳). سپس کاغذهای حساس به آب مربوط به هر تیمار، با رزولوشن 600 dpi سکن و سپس با استفاده از کد نویسی برنامه کامپیوتری، نوشته شده در نرم افزار مطلب^۳، لکه‌های زرد روی کاغذهای حساس به کمک فناوری

^۱- Tartrazine

^۲- Extech Instruments

^۳- MATLAB

اولین همایش ملی علوم کشاورزی

وزیریست محیط ایران

نهمین برگزاری همایش ۱۰ بهمن ماه ۱۳۹۷

پردازش تصویر مورد بررسی قرار گرفت. عواملی چون قطر میانه عددی و حجمی قطرات پخش شده، میزان بادبردگی، کیفیت پاشش و میزان پوشش سطح هدف برای هر یک از نازل‌ها، بررسی و در نرم افزار SPSS مورد تجزیه و تحلیل قرار گرفت.

ساخت دستگاه تونل باد و نتایج پیش آزمایش

پس از طراحی و محاسبات حجم هوادهی دمنده‌ی هوا، سیستم جابجای نازل، سیستم هیدرولیک پاشش نازل، سیستم الکتریکی سامانه تونل باد با توجه به هدف‌های تعریف شده تجهیزات جدول (۲) در ساخت دستگاه استفاده گردید. مشخصات فنی نوع، ابعاد و سایز قطعات بکار رفته در سامانه تونل باد در جدول زیر درج شده است.

جدول ۲- مشخصات فنی تجهیزات بکار رفته در سامانه تونل باد

نام و مشخصات فنی	تصویر قطعات	اعلاع فنی
ابعاد کلی دستگاه سامانه تونل باد		طول: ۶/۸ متر عرض: ۰/۵ متر ارتفاع: ۰/۷۵ متر
Sp ^{۵/۶} ولتاژ ۲۰۰V قدرت ۱/۶ hp ۸Nm جریان دور تند ۳ آمپر جریان دور کند ۱/۸ آمپر دور تند ۱۴۲۵ دور در دقیقه دور کند ۹۵۰ دور در دقیقه		
سیستم انتقال قدرت پیچ کبریتی (دنده مربعی) M16		

اولین همایش ملی علوم کشاورزی

وزیریست محیط ایران

نهمان برگزاری همایش ۱۰ بهمن ماه ۱۳۹۷

نام و مشخصات فنی	تصویر قطعات	بعاد فنی
موتور گیربکس دار ولتاژ مستقیم ۱۲ قدرت ۰/۳ اسب بخار آمپر دور ۰/۸ آمپر گیربکس کاهنده دور خروجی ۳۰۰ دور در دقیقه گشتاور ۰/۸ نیوتن متر		
سیستم انتقال دور به توربین از نوع تسمه ای شماره تسمه A45		
مانومتر فشار سم در مدار مدل IMER حداقل فشار ۱۴۰ psi ۱۰ bar		
پمپ آب مدل C.C.K توان ۰/۵۵ کیلووات آب دهی ۱/۸ متر مکعب در ساعت		

اولین همایش ملی علوم کشاورزی

وزیرت محیط ایران

نهمین برگزاری همایش ۱۰ بهمن ماه ۱۳۹۷

نام و مشخصات فنی	تصویر قطعات	بعاد فنی
دمنده هوای CFM ۲۵۰۰ حداکثر هوادهی فوت مکعب در دقیقه HR ۴۲۵ متر مکعب در ساعت		
یاتاقان نوع غلتی اندازه ۳/۴ اینچ		"Clean" series (made from light alloy) Bore diameter 10 - 30 mm

میزان بادبردگی

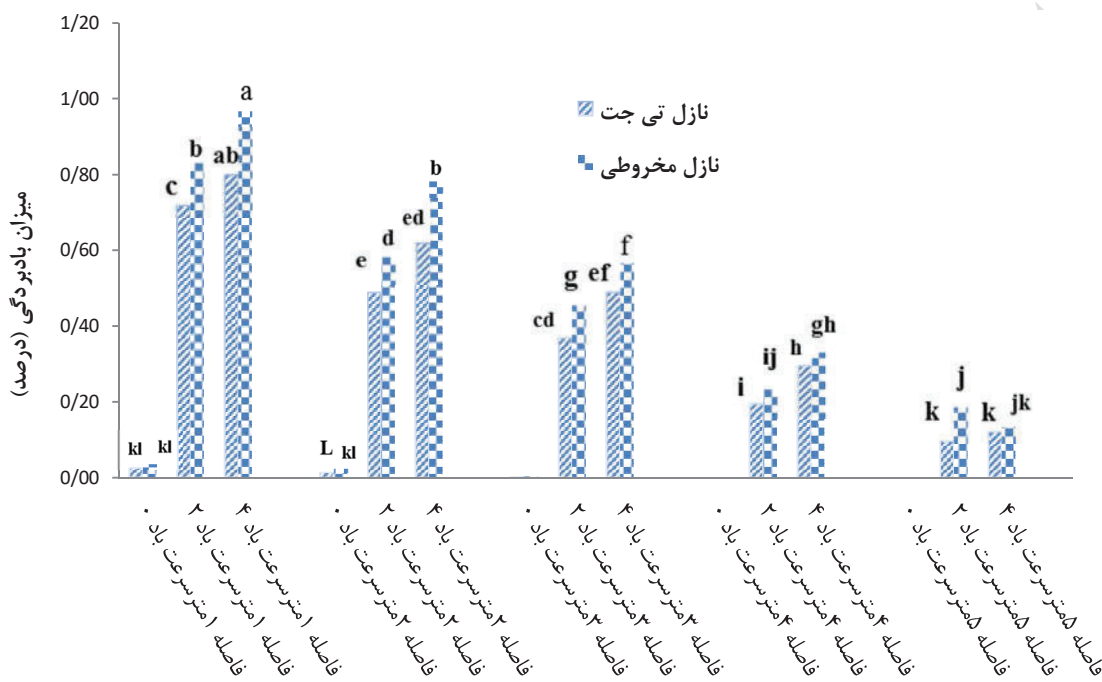
برای محاسبه میزان بادبردگی باید خروج سم از نازل و اصابت ذرات آن در هدف و میزان مقدار نشست ذرات در ناحیه غیر هدف در بازه مشخص محاسبه و مقایسه و بررسی کرد. با توجه به اینکه به علت کدر شدن کاغذ حساس به آب در نقطه هدف امکان تحلیل نرم افزار مطلب برای نقطه هدف نبود سامانه تونل باد امکان محاسبه دقیق بادبردگی را ندارد. میزان باد بردگی با توجه به تراکم قطرات در فاصله های متواالی از نازل مورد بررسی قرار داد شده است. معمولا برای تعیین میزان بادبردگی از معیار اندازه گیری جیل استفاده می شود. مطابق تحقیق جیل و همکارانش ریز شدن قطرات کمتر از ۱۰۰ میکرون باعث افزایش بادبردگی می شود و استاندارد ذره سازی برای کاهش بادبردگی ۲۵۰ میکرون تعیین شده است (Gil et al., ۲۰۱۳). در ارزیابی سامانه تونل باد حداقل ریز شدن قطرات ۱۲۷ میکرون و حداکثر ۲۸۵ در فشار ثابت ۲/۸ بار در فاصله ۱ متری محاسبه شد. میزان بادبردگی در نازل تی جت در سرعت ۴ متر بر ثانیه ۶۷٪ و نازل مخروطی ۷۱٪ محاسبه شد که با اندازه گیری فتاحی و همکاران در سال ۱۳۹۲ و جیل همکاران در سال ۲۰۱۳ مطابقت داشت. در ارتفاع ۷۵ سانتی متری بیشترین بادبردگی مشاهده شد که در شکل (۴) مقایسه اثرات سرعت باد در پنج فاصله یک تا پنج متری از نقطه هدف بر میزان بادبردگی نشان داده شده است. همانطور که در شکل مشخص است میزان بادبردگی با افزایش عامل سرعت افزایش می یابد که با نتایج لوف و همکارانش در سال ۲۰۰۷ مطابقت داشت. در تحلیل لوف اثر نوع نازل بر میزان بادبردگی نیز در سطح یک درصد معنی دار بود. نازل نوع مخروطی تاثیر بیشتری بر میزان بادبردگی نسبت به نازل های تی جت داشت. نازل های مخروطی روزنه کوچکتری نسبت به نازل های تی جت دارد و ذرات سم در نازل نوع مخروطی ریزتر بود و سرعت باد تاثیر بیشتری روی ذرات و میزان بادبردگی دارد (Wolf, ۲۰۰۳). همچنین با افزایش فاصله از هدف مقدار باد بردگی کاهش یافته است. زیرا با دور شدن از هدف قطرات درشت تر نشست می کنند و قطرات ریزتر در فاصله های دورتر از هدف نشست می کنند که در شکل زیر این مطلب به خوبی نمایان است.

اولین همایش ملی علوم کشاورزی

وزیریت محیط‌آباد

زمان پرگزاری هماویش ۱۰ بهمن ماه ۱۳۹۷

نتایج حاصل از اندازه‌گیری‌های دیگر نیز نشان از صحت کار دستگاه در محدوده سرعت باد تا ۵ متر بر ثانیه و ارتفاع بین ۰/۴ تا ۰/۷۵ متری و دبی‌ها و فشارهای مختلف داشت که در مقالات بعدی نتایج در حال انتشار می‌باشد.



شکل ۴- تأثیر ترکیب‌های مختلف تیمارها بر میزان بادبردگی نازل تی‌جت و مخروطی در ارتفاع بوم ۵۵۰ متر

منابع و مأخذ

بازو م، منتظری م، فتحی ق و گلابی م. ۱۳۹۰. تاثیر نوع نازل بر میزان اثر بخشی علفکش‌ها در کنترل علفهای هرز پهنه برگ گندم، اولین همایش ملی مکانیزاسیون و فناوری‌های نوین در کشاورزی. ص ۹.

خاکریگین ز، چندار س. و رنجی ع. ۱۳۹۰. بررسی اثر نوع علف کش و نوع نازل سم پاش بر کنترل علفهای هرز. همایش بین المللی پژوهش‌های کاربردی در کشاورزی. ص. ۹.

^{۱۳۸۸} ف. اصول ماشین‌های کشاورزی (تألیف کپنر، بینر و بارکر). چاپ چهارم. انتشارات دانشگاه تهران.

صفیری م. ۱۳۸۸. ارزیابی فنی سمپاش‌های رایج مورد استفاده در مزارع گندم و تعیین روشها و ماشین‌های مناسب مجله تحقیقات مهندسی کشاورزی جلد ۶ شماره ۲۴. ص ۱۷.

فتاحی س، عبدالله پور ش، اسماعیل زاده، ا. و مقدم، ۱۳۹۲. ارائه و ارزیابی یک مدل تجربی برای بادبردگی نازل های بادبزنی در توپل باد به کمک پردازش تصویر، ششمین کنگره ملی مهندسی ماشین های کشاورزی و مکانیزاسیون. جلد ۲. ص ۱۴۲.



اولین همایش ملی علوم کشاورزی

وزیریست محیط ایران

دهان برگزاری همایش ۱۰ بهمن ماه ۱۳۹۷

ناصری م، عباسپورفرد م. ح، چاجی ح. و حیدرزاده احسان. ۱۳۸۶. بررسی اثر قطر روزنے نازل، فشار پمپ و سرعت پیشروی تراکتور بر یکنواختی پاشش در سه پاش توربینی زراعی (توربولاینر). پنجمین کنگره ملی ماشین‌های کشاورزی و مکانیزاسیون دانشگاه فردوسی مشهد. ص ۹.

Brooker B.D., Bakker-Arkema W.F. and Hall W.C. ۱۹۹۷. Drying and storage of grains and oilseeds. First Indian edition. CBS Publishers. ۴۰۰ PP.

Farooq M. and Wulfsohn D. ۱۹۹۶. Wind tunnel for spray drift studies. Canadian Agricultural Engineering, ۲۸ (۴): ۲۸۳-۲۸۹.

Gil E., Llorens J., Liop J., Fabregas X. and Gallart M. ۲۰۱۳. Use of a terrestrial lidar sensor for drift detection in vineyard spraying. Sensors Journal, ۱۳: ۵۱۶-۵۳۴

Gu J., Zhu H., Ding W. and Jeon H.Y. ۲۰۱۱. Droplet size distributions of adjuvant-amended sprays from an air-assisted five-port pawn nozzle. Atomization and Sprays, ۲۱ (۳): ۲۶۳-۲۷۴.

Guler H., Zhu H., Ozkan H.E., Derksen R.C., Yu Y. and Krause C.R. ۲۰۰۷. Spray characteristics and drift reduction potential with air induction and conventional flat fan nozzles. Transaction of ASABE, ۵۰: ۷۴۰-۷۵۴.

Huiyu Z.W.P. ۲۰۱۳. Spray drift review: The extent to which a formulation can contribute to spray drift reduction. C.P Journal, ۴۴: ۷۵-۸۳.

Jensen P.K. and Lund I. ۲۰۰۸. Static and dynamic distribution of spray form nozzles and the influence on biological efficacy of band applications of herbicides. Grope Protection. ۲۵: ۱۲۰۱-۱۲۰۹.

Klein R. N., Schulze L. and Ogg C.L. ۲۰۰۷. Spray drift of pesticides. NebGuide G1۷۳۳. University of Nebraska-Lincoln Extension service.

Klinzing G.E., Rizk F., Marcus R. and Leung L.S. ۲۰۱۱. Pneumatic conveying of solids: a theoretical and practical approach. Vol. A. Springer Science & Business Media, ۷۵۱ pp.

Srivastava A.K., Goering C.E., Rohrbach R.P. and Buckminster D.R. ۲۰۰۶. Engineering principles of agricultural machines. ۲nd Edition. ASAE Publication ۸۰۱M. ۰۲۰۷.

Storrie A. ۲۰۰۴. Reducing herbicide spray drift. NSW. Agriculture Agnote DOI-۴۷۷

White F.M. ۲۰۰۲. Fluid Mechanics, McGraw-Hill, ۹th edition, ISBN ۰-۰۷-۲۸۳۱۸۰-۴.

Wolf R.E. ۲۰۰۲. Strategies to reduce spray drift. Kansas state university extension service. Publication MF-۲۴۴۱.
ASAE Annual International Meeting / CIGR XVth World Congress, Chicago, Illinois, USA